




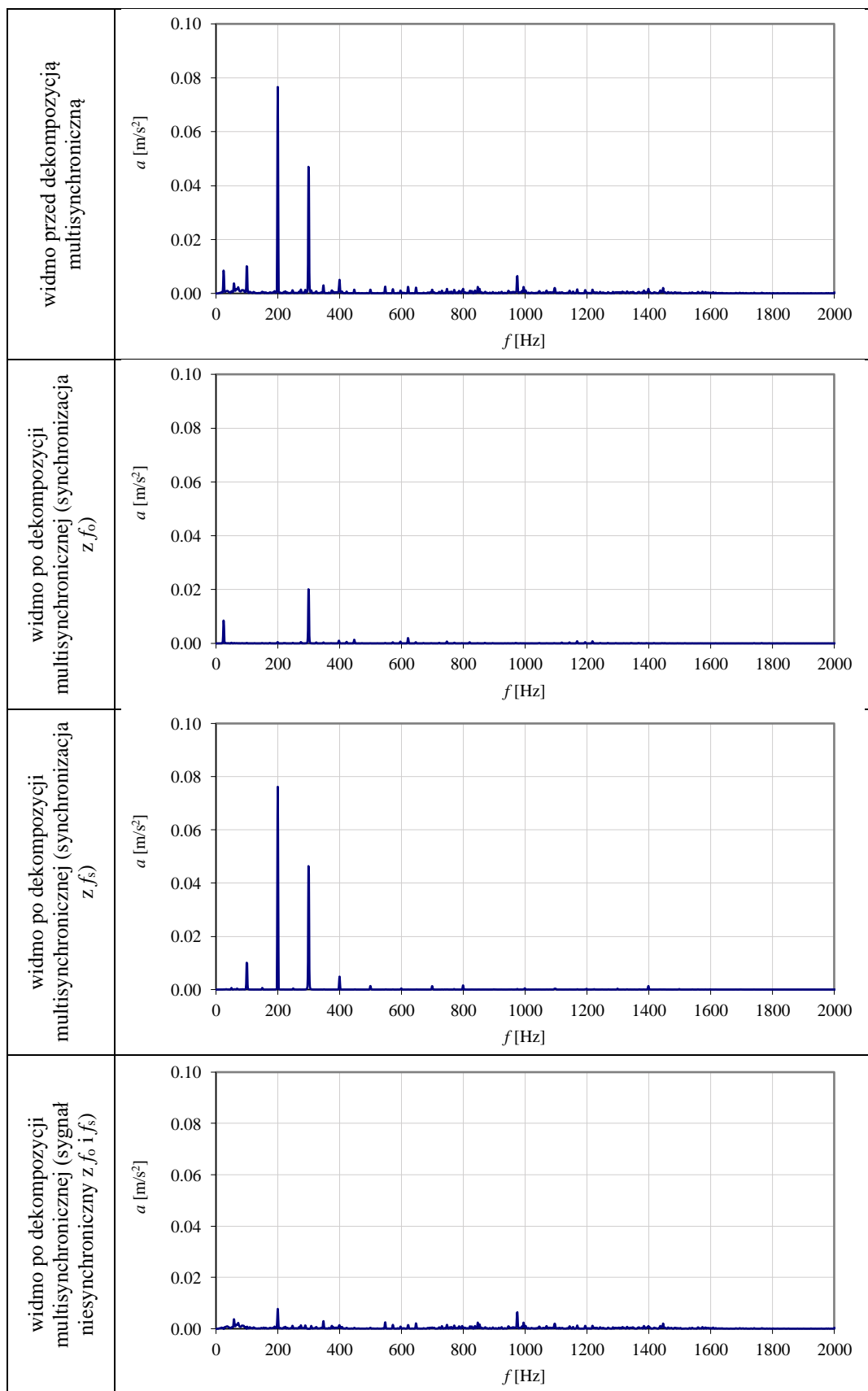
ZAŁĄCZNIK 3

Widma przyspieszeń drgań silnika BESEL 2SIEK 63-4A2 przed i po procesie dekompozycji multisynchronicznej (synchronizacja z częstotliwością obrotową f_0 , częstotliwością sieci f_s oraz widmo sygnału niesynchronicznego z f_0 i f_s).

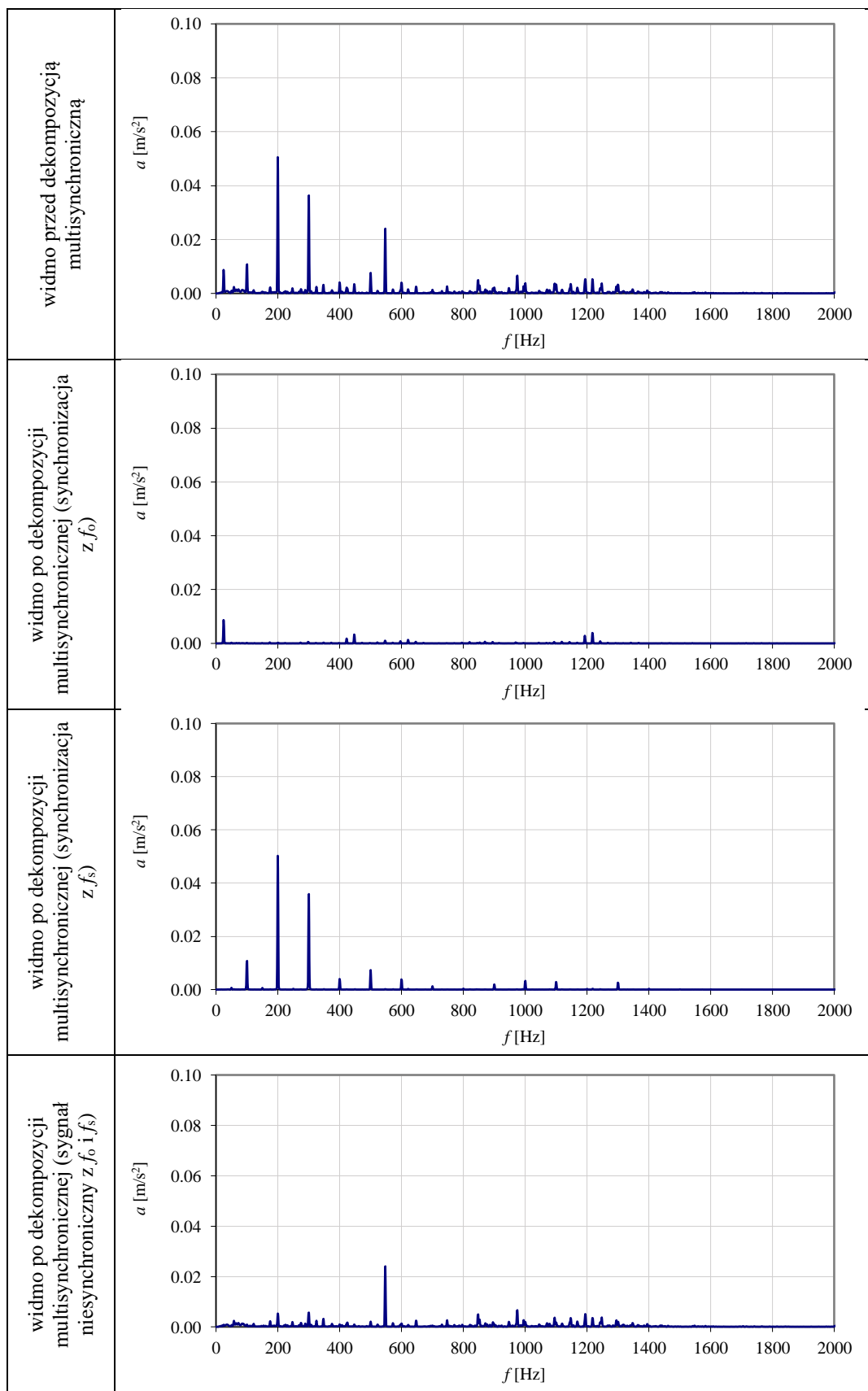
Przedstawione wyniki dotyczą sygnałów rejestrowanych z prawej strony głowicy pomiarowej we wszystkich kierunkach pomiarowych oraz wybranych wprowadzonych wad produkcyjnych.

Punkty i kierunki pomiarowe zostały oznaczone kolorami:

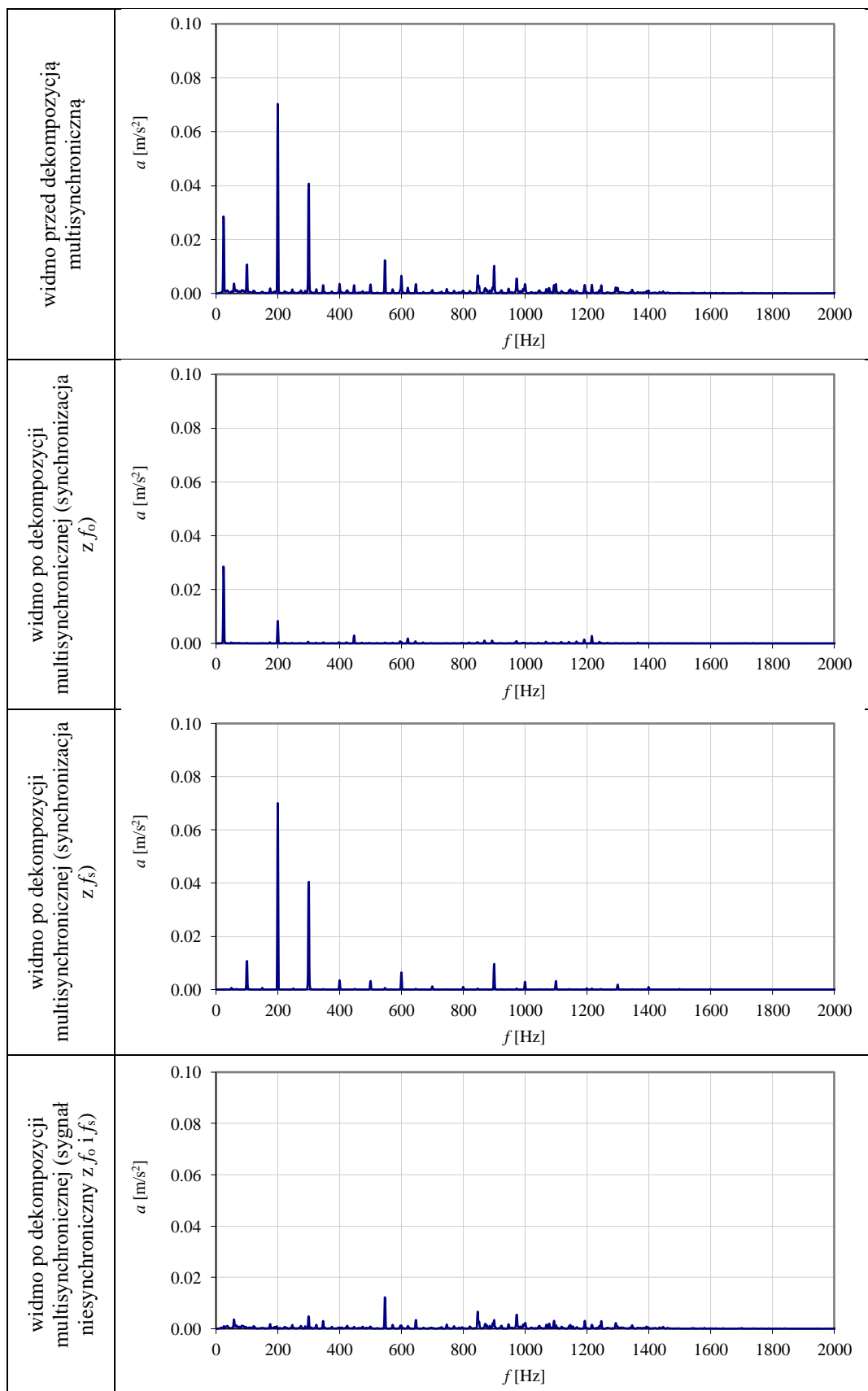
-  - pomiar realizowany z prawej strony głowicy pomiarowej w kierunku stycznym
-  - pomiar realizowany z prawej strony głowicy pomiarowej w kierunku promieniowym
-  - pomiar realizowany z prawej strony głowicy pomiarowej w kierunku osiowym



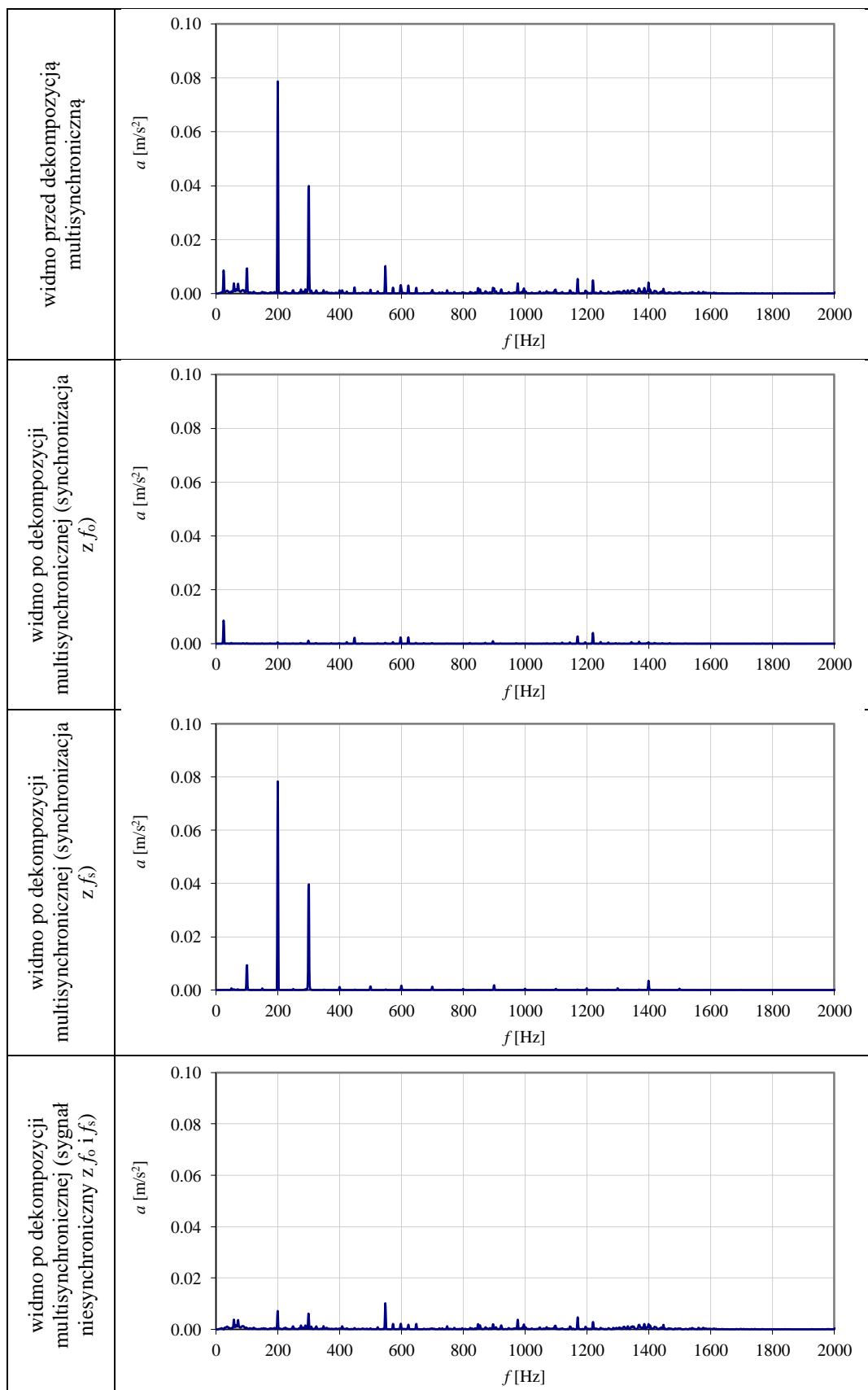
Rys. 1. Widma przyspieszeń drgań silnika BESEL 2SIEK 63-4A2 rejestrowanych z prawej strony głowicy pomiarowej w kierunku stycznym do korpusu silnika przed i po procesie dekompozycji multisynchronicznej (bez wad).



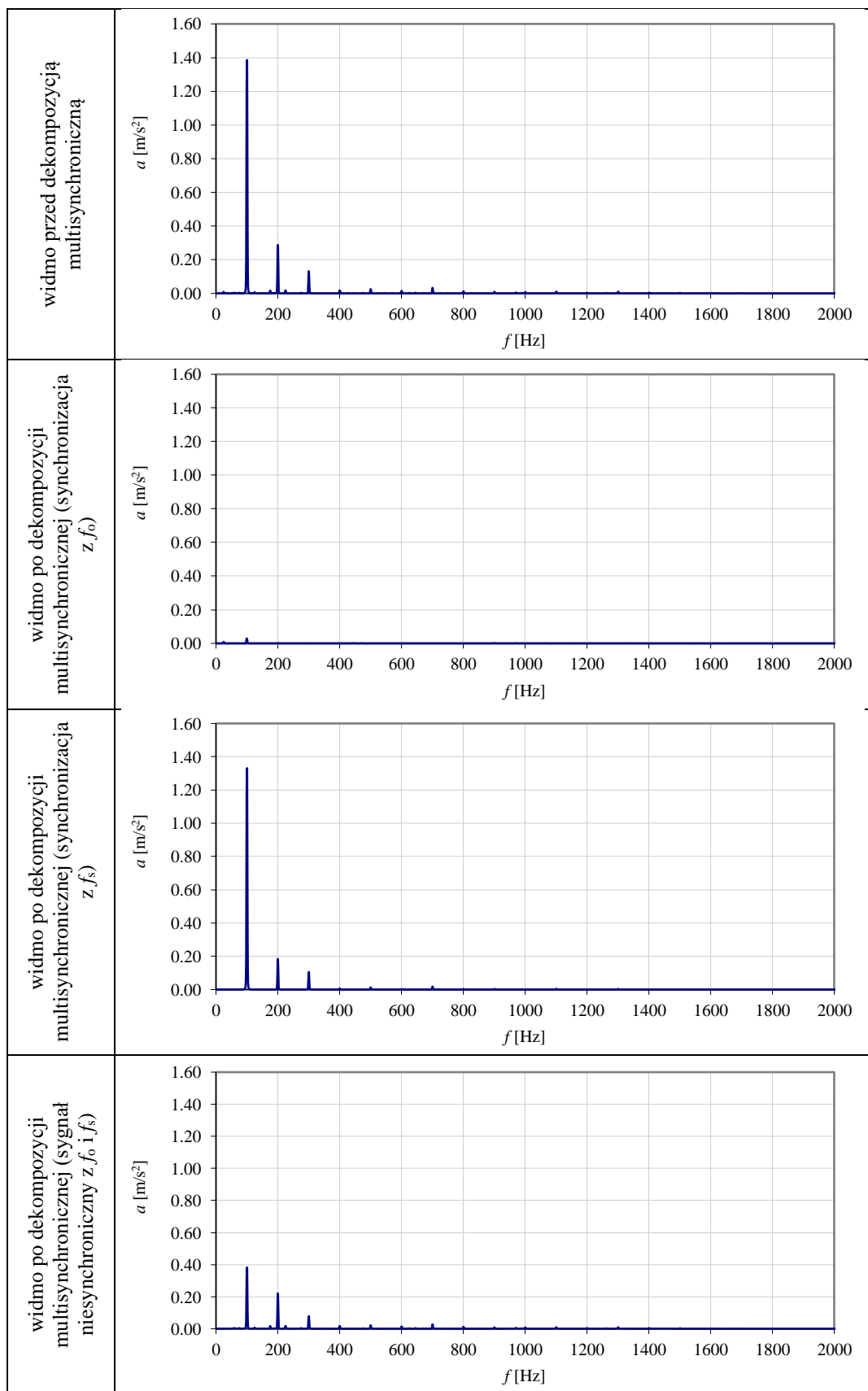
Rys. 2. Widma przyspieszeń drgań silnika BESEL 2SIEK 63-4A2 rejestrowanych z prawej strony głowicy pomiarowej w kierunku stycznym do korpusu silnika przed i po procesie dekompozycji multisynchronicznej (powiększona niecentryczność wirnika względem stojana o ok. 0,3 mm).



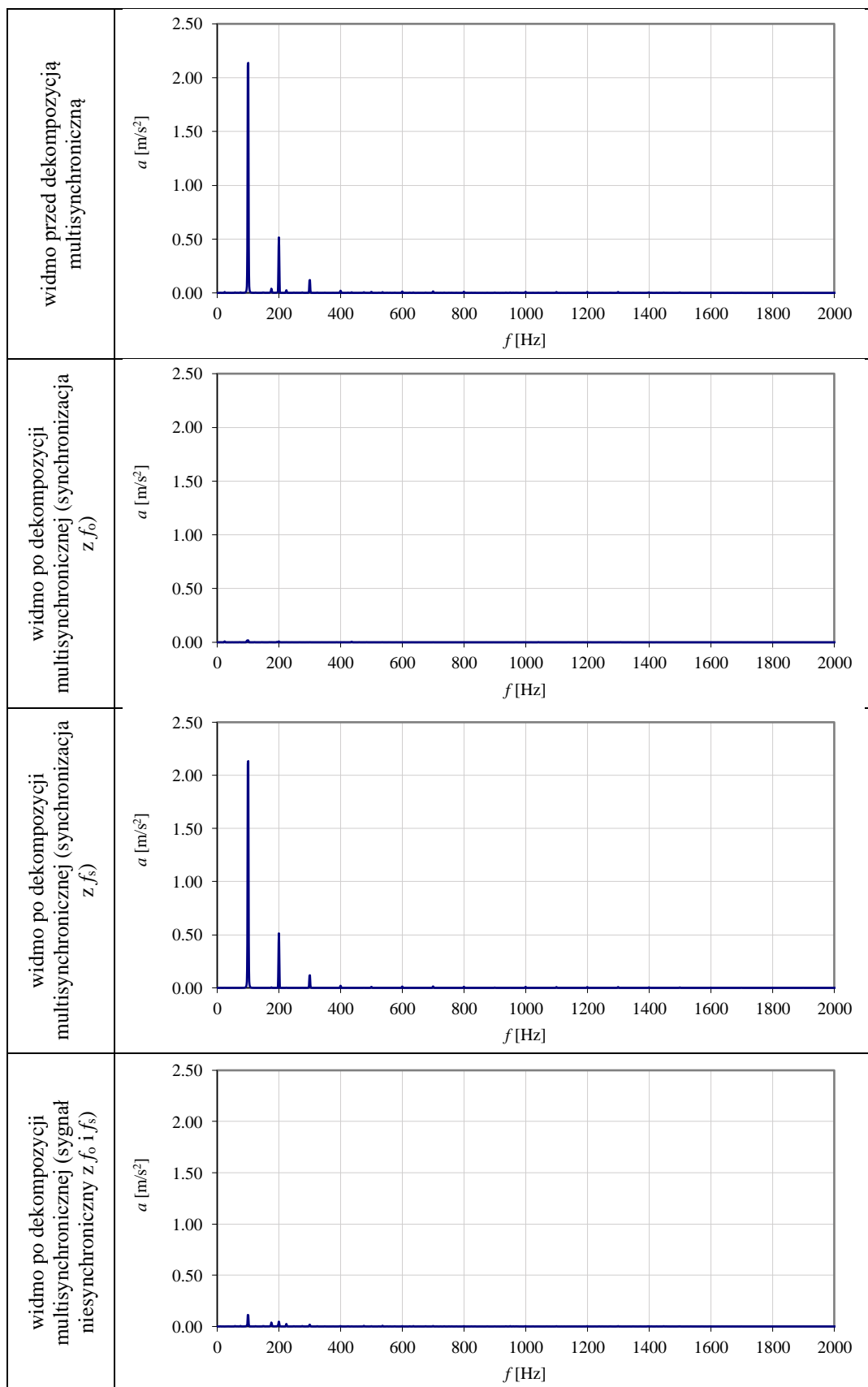
Rys. 3. Widma przyspieszeń drgań silnika BESEL 2SIEK 63-4A2 rejestrowanych z prawej strony głowicy pomiarowej w kierunku stycznym do korpusu silnika przed i po procesie dekompozycji multisynchronicznej (niewyważenie wirnika 60 g·mm).



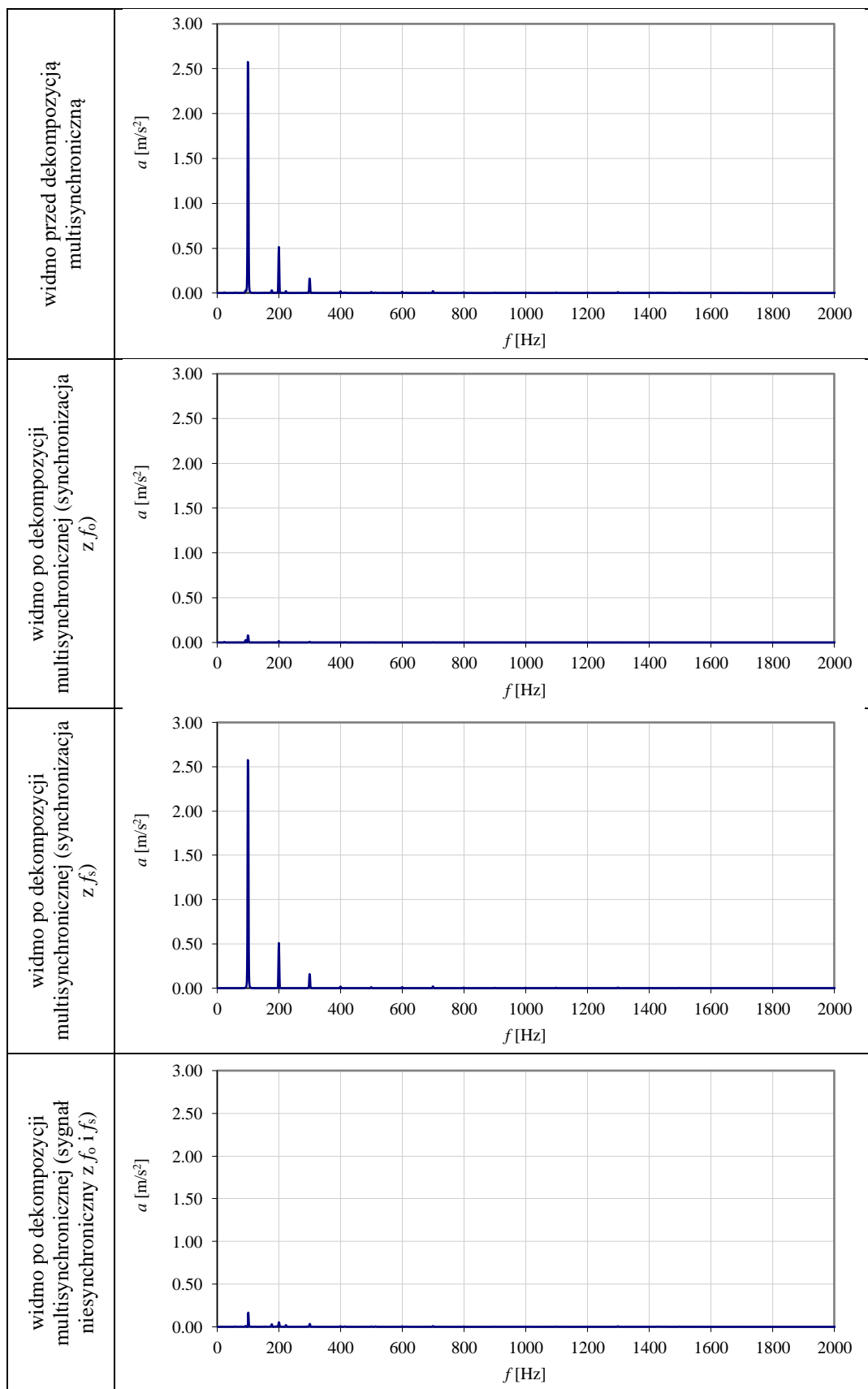
Rys. 4. Widma przyspieszeń drgań silnika BESEL 2SIEK 63-4A2 rejestrowanych z prawej strony głowicy pomiarowej w kierunku stycznym do korpusu silnika przed i po procesie dekompozycji multisynchronicznej (powiększona rezystancja fazy L1 o 1Ω).



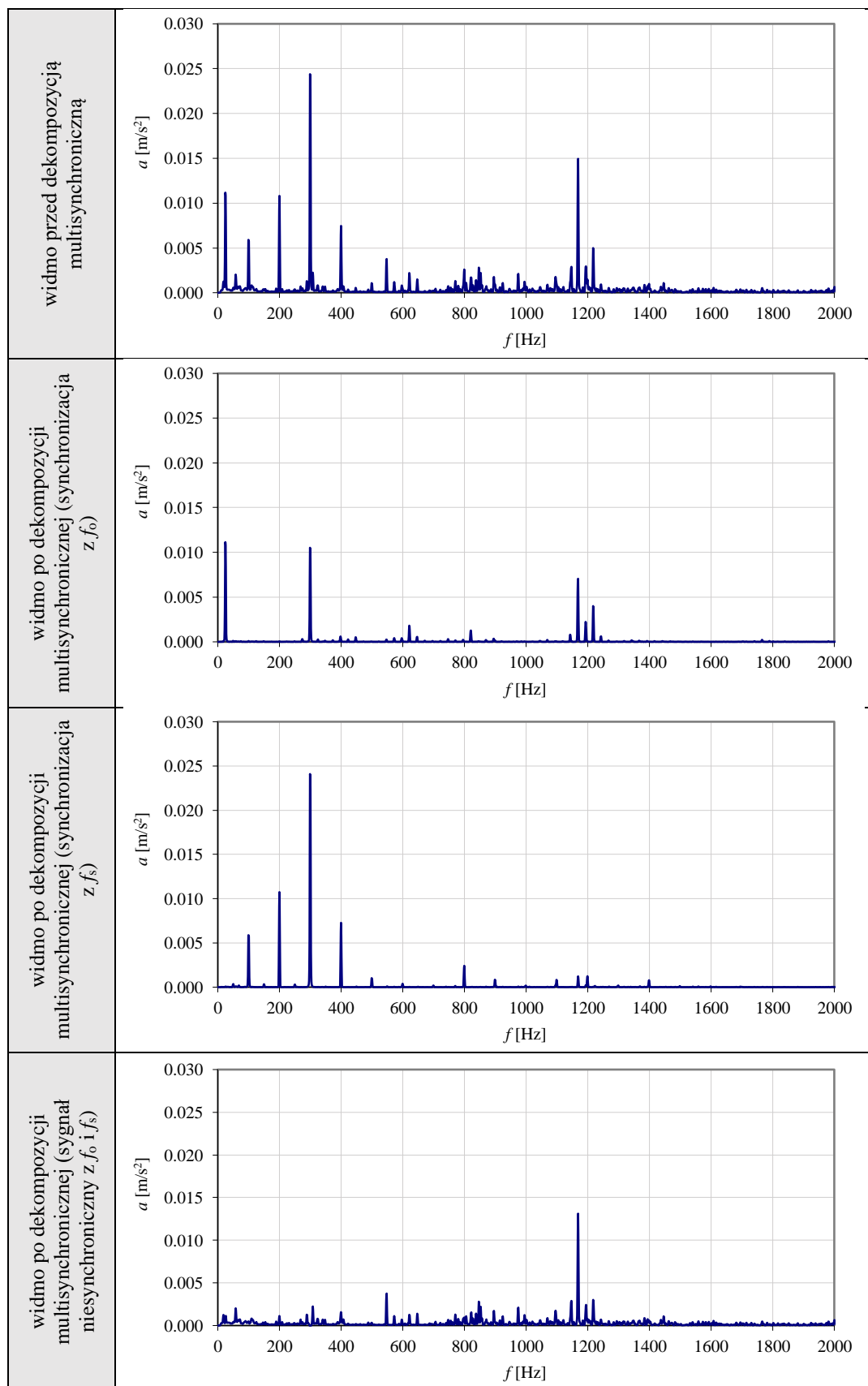
Rys. 5. Widma przyspieszeń drgań silnika BESEL 2SIEK 63-4A2 rejestrowanych z prawej strony głowicy pomiarowej w kierunku stycznym do korpusu silnika przed i po procesie dekompozycji multisynchronicznej (powiększona rezystancja fazy L1 o 30Ω)



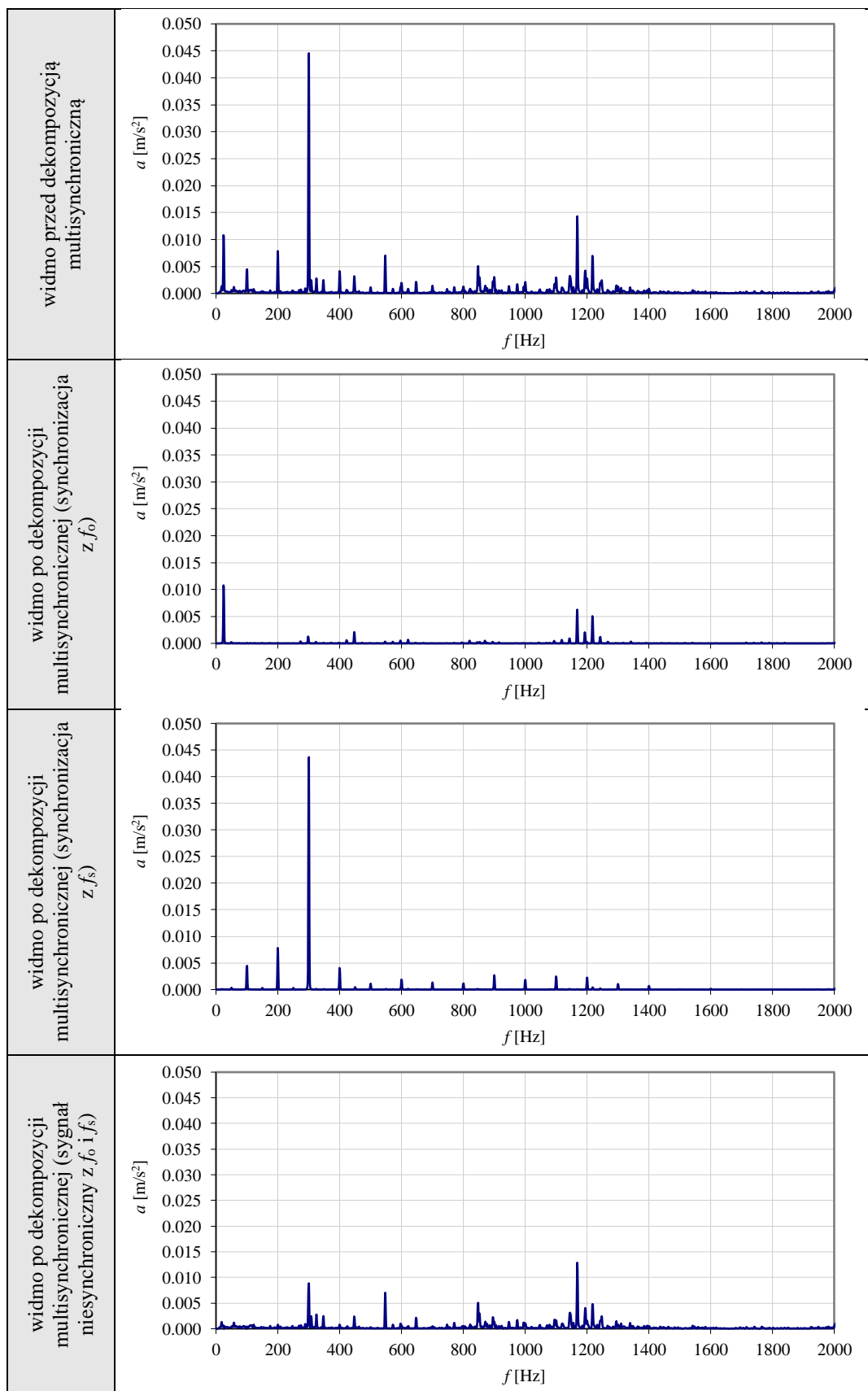
Rys. 6. Widma przyspieszeń drgań silnika BESEL 2SIEK 63-4A2 rejestrowanych z prawej strony głowicy pomiarowej w kierunku stycznym do korpusu silnika przed i po procesie dekompozycji multisynchronicznej (całkowite odłączenie fazy L1).



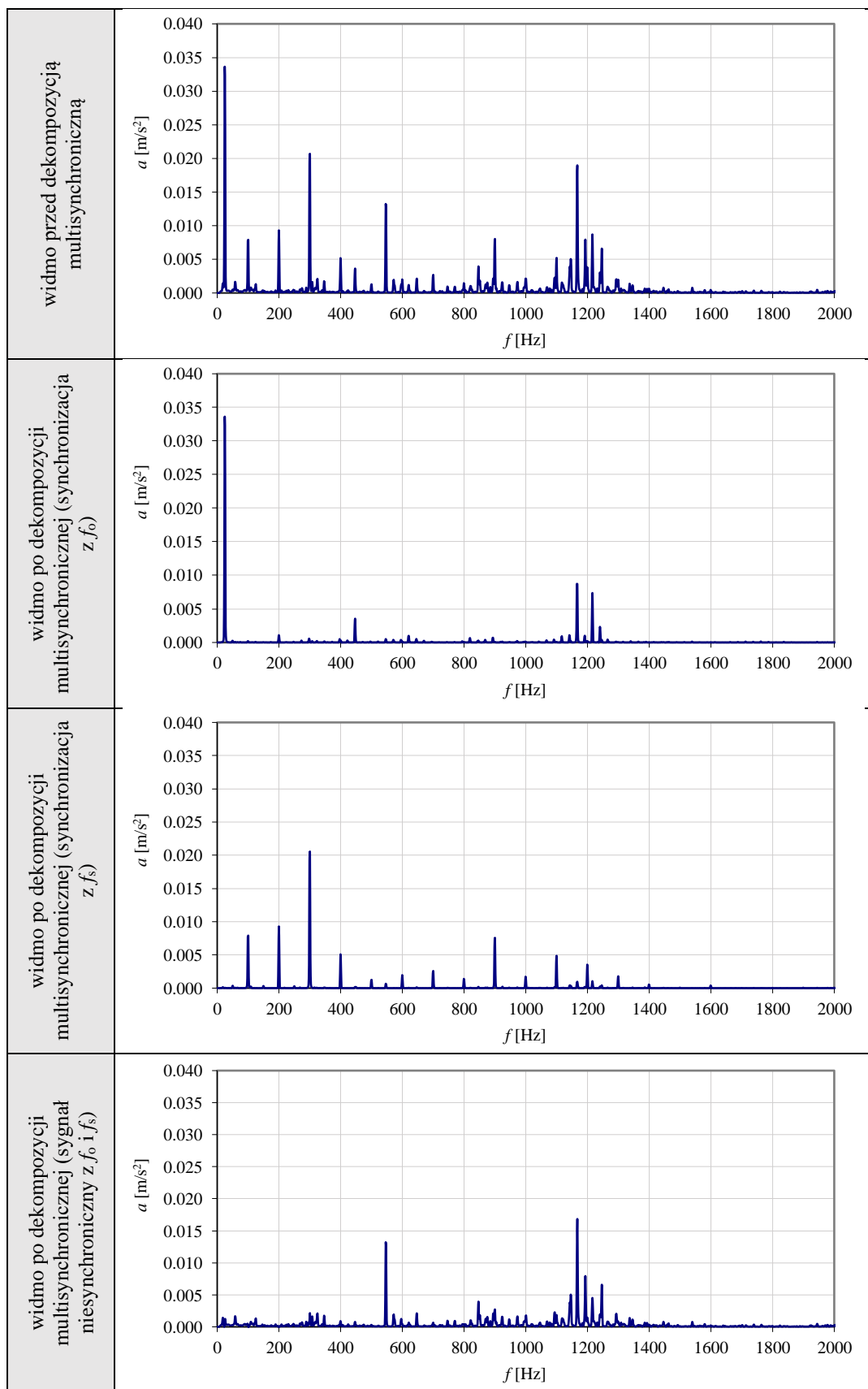
Rys. 7. Widma przyspieszeń drgań silnika BESEL 2SIEK 63-4A2 rejestrowanych z prawej strony głowicy pomiarowej w kierunku stycznym do korpusu silnika przed i po procesie dekompozycji multisynchronicznej (zasilanie silnika z sieci jednofazowej z kondensatorem pracy).



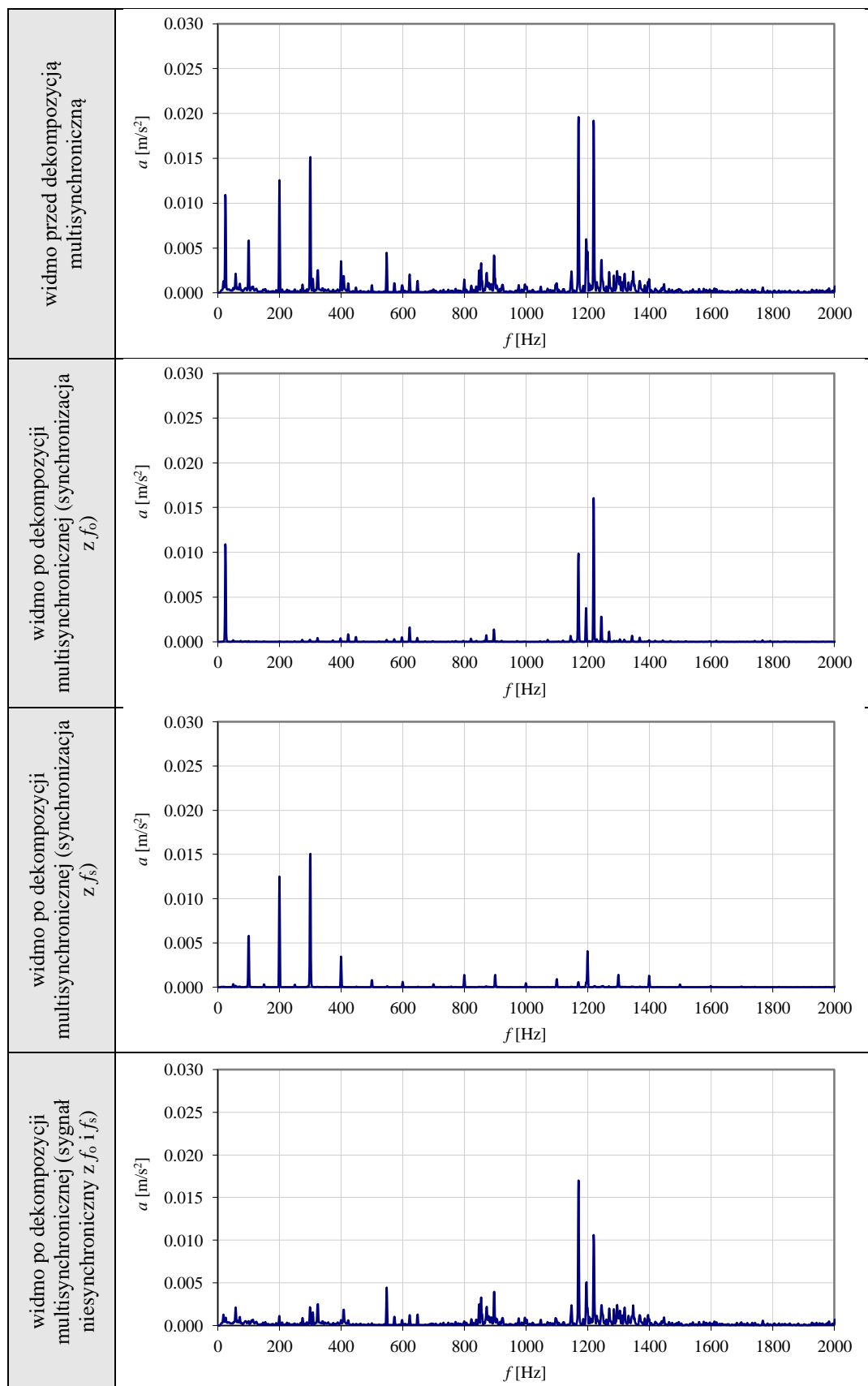
Rys. 8. Widma przyspieszeń drgań silnika BESEL 2SIEK 63-4A2 rejestrowanych z prawej strony głowicy pomiarowej w kierunku promieniowym do korpusu silnika przed i po procesie dekompozycji multisynchronicznej (silnik bez wad)



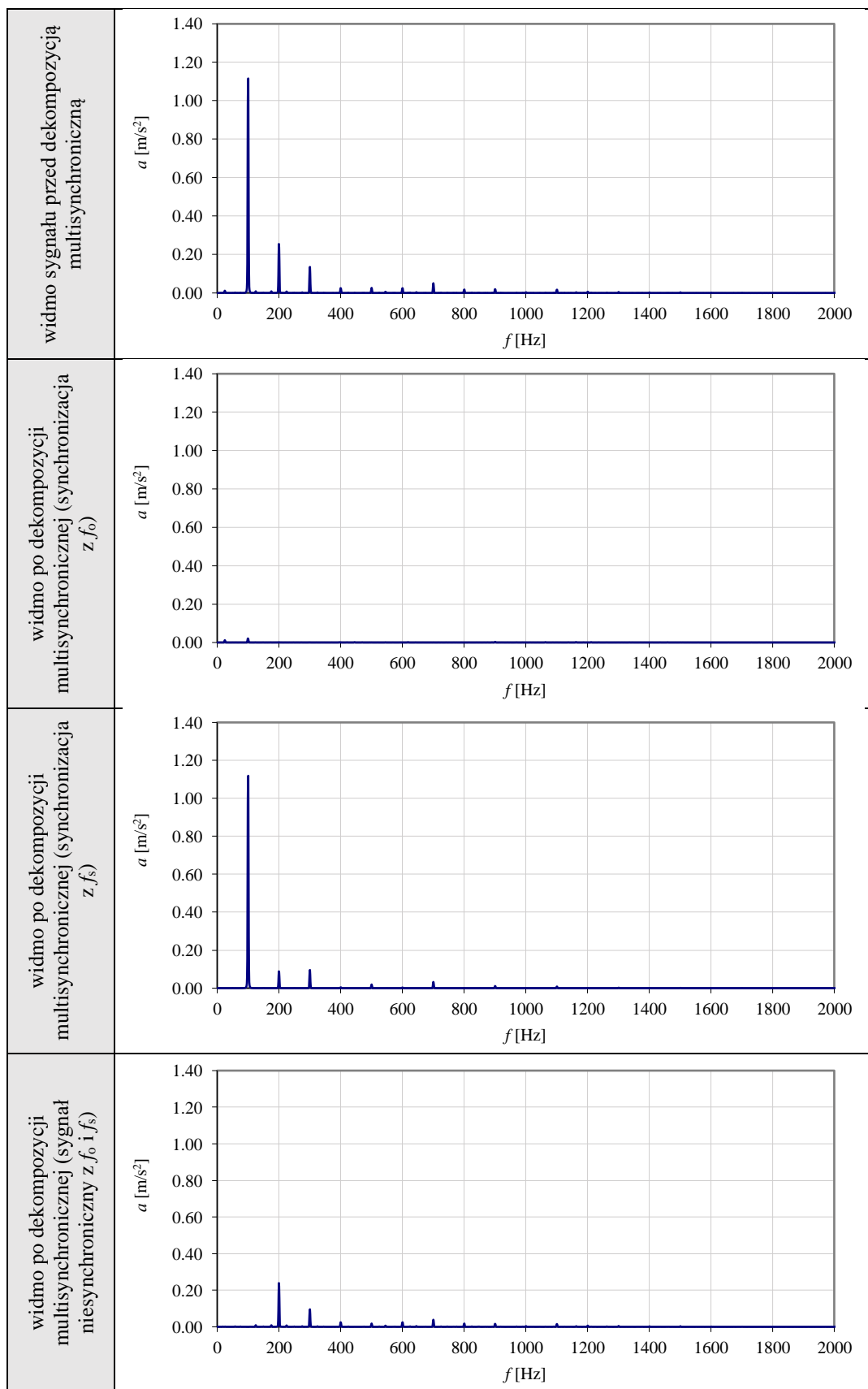
Rys. 9. Widma przyspieszeń drgań silnika BESEL 2SIEK 63-4A2 rejestrowanych z prawej strony głowicy pomiarowej w kierunku promieniowym do korpusu silnika przed i po procesie dekompozycji multisynchronicznej (powiększona niecentryczność wirnika względem stojana o ok. 0,3 mm).



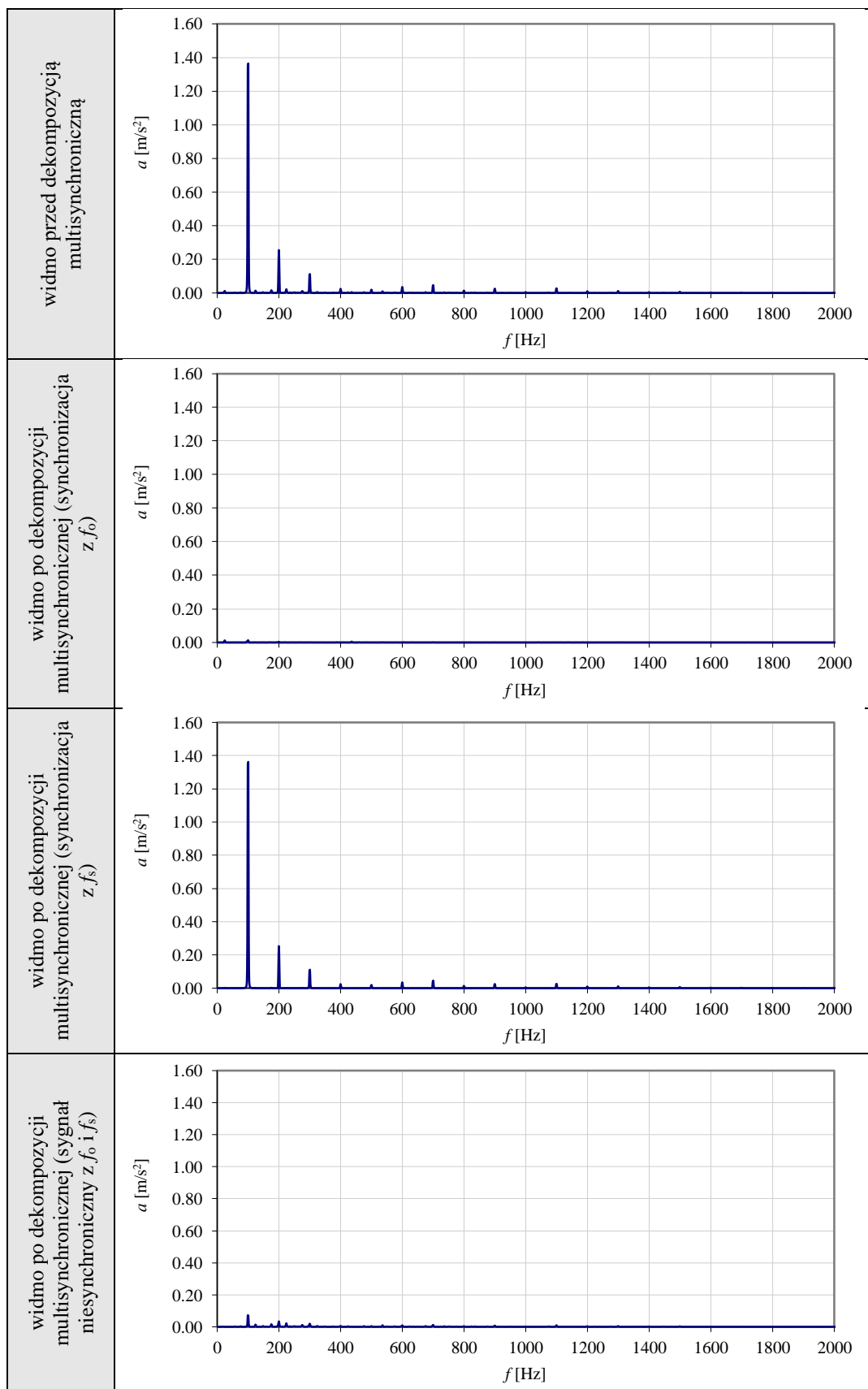
Rys. 10. Widma przyspieszeń drgań silnika BESEL 2SIEK 63-4A2 rejestrowanych z prawej strony głowicy pomiarowej w kierunku promieniowym do korpusu silnika przed i po procesie dekompozycji multisynchronicznej (niewyważenie wirnika 60 g·mm).



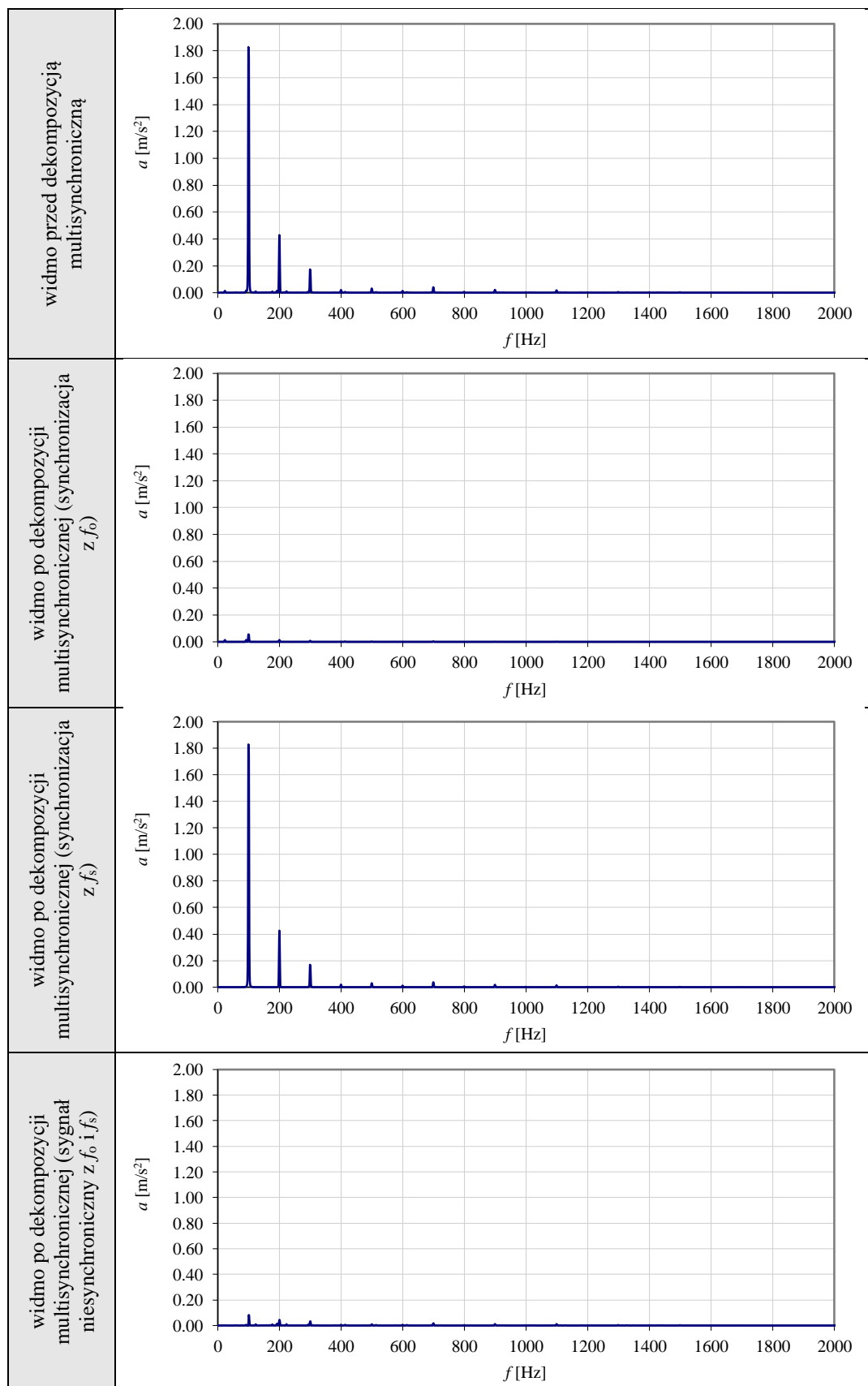
Rys. 11. Widma przyspieszeń drgań silnika BESEL 2SIEK 63-4A2 rejestrowanych z prawej strony głowicy pomiarowej w kierunku promieniowym do korpusu silnika przed i po procesie dekompozycji multisynchronicznej (powiększona rezystancja fazy L1 o 1Ω)



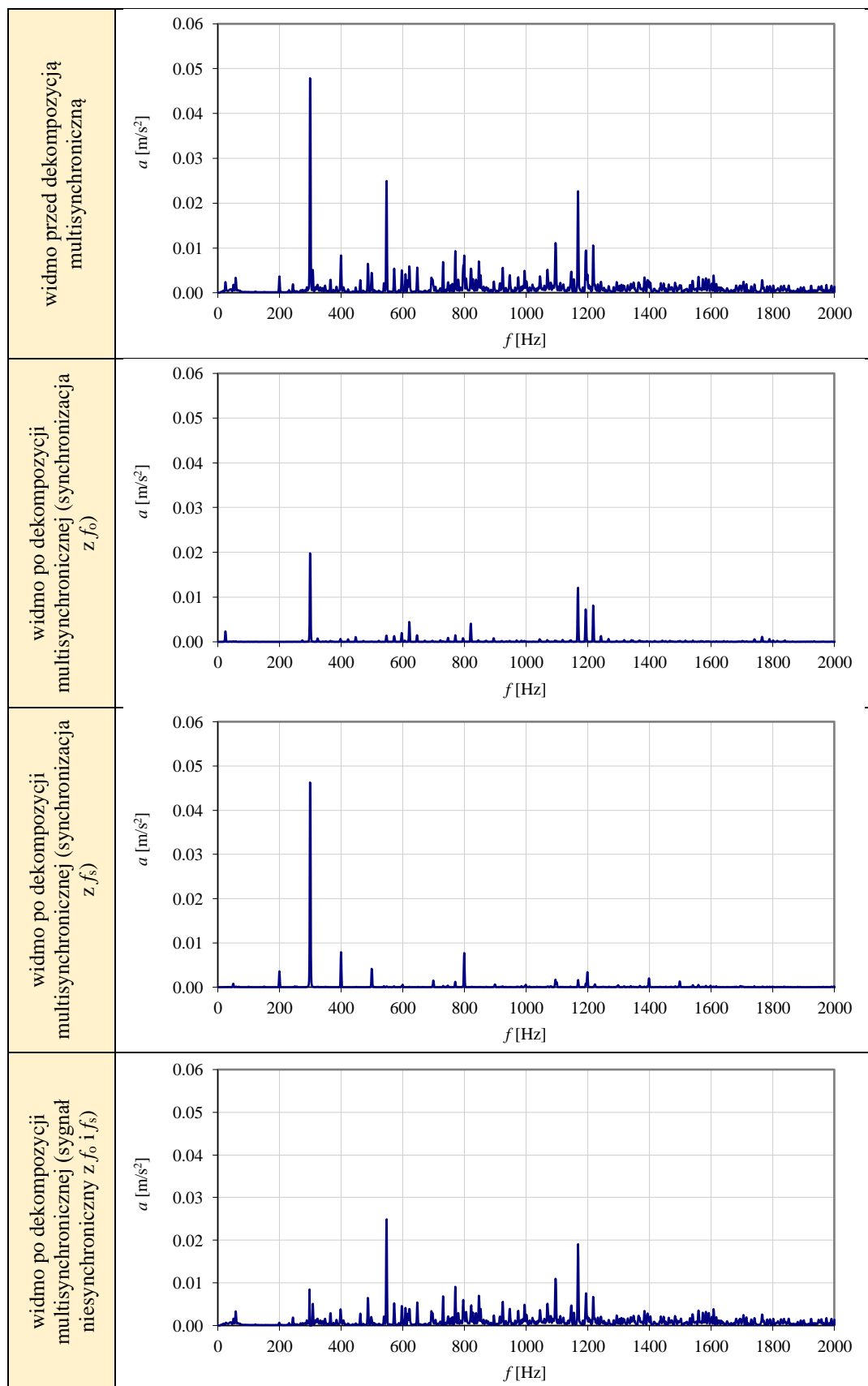
Rys. 12. Widma przyspieszeń drgań silnika BESEL 2SIEK 63-4A2 rejestrowanych z prawej strony głowicy pomiarowej w kierunku promieniowym do korpusu silnika przed i po procesie dekompozycji multisynchronicznej (powiększona rezystancja fazy L1 o 30Ω)



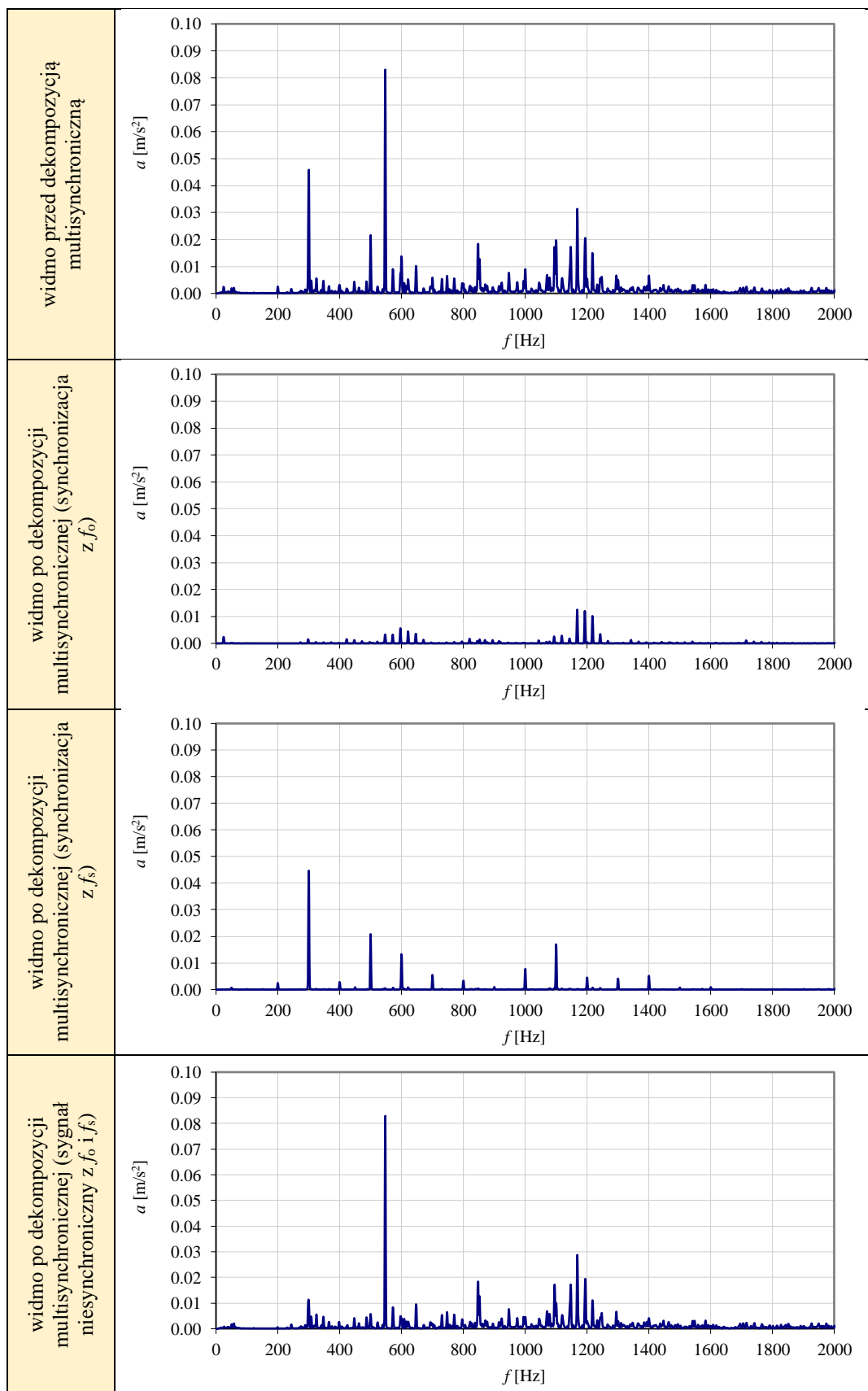
Rys. 13. Widma przyspieszeń drgań silnika BESEL 2SIEK 63-4A2 rejestrowanych z prawej strony głowicy pomiarowej w kierunku promieniowym do korpusu silnika przed i po procesie dekompozycji multisynchronicznej (całkowite odłączenie fazy L1)



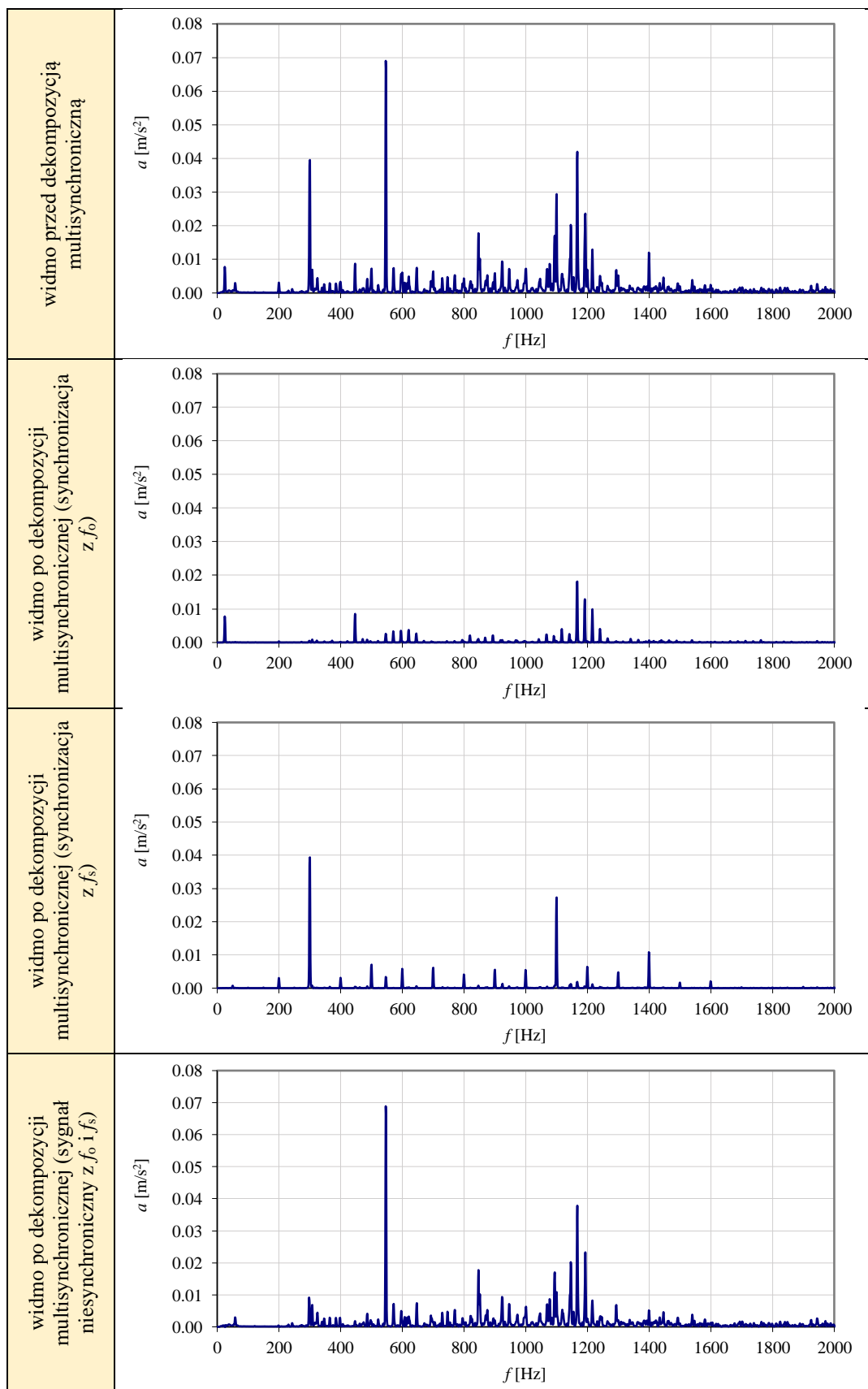
Rys. 14. Widma przyspieszeń drgań silnika BESEL 2SIEK 63-4A2 rejestrowanych z prawej strony głowicy pomiarowej w kierunku promieniowym do korpusu silnika przed i po procesie dekompozycji multisynchronicznej (zasilanie z sieci jednofazowej z kondensatorem pracy).



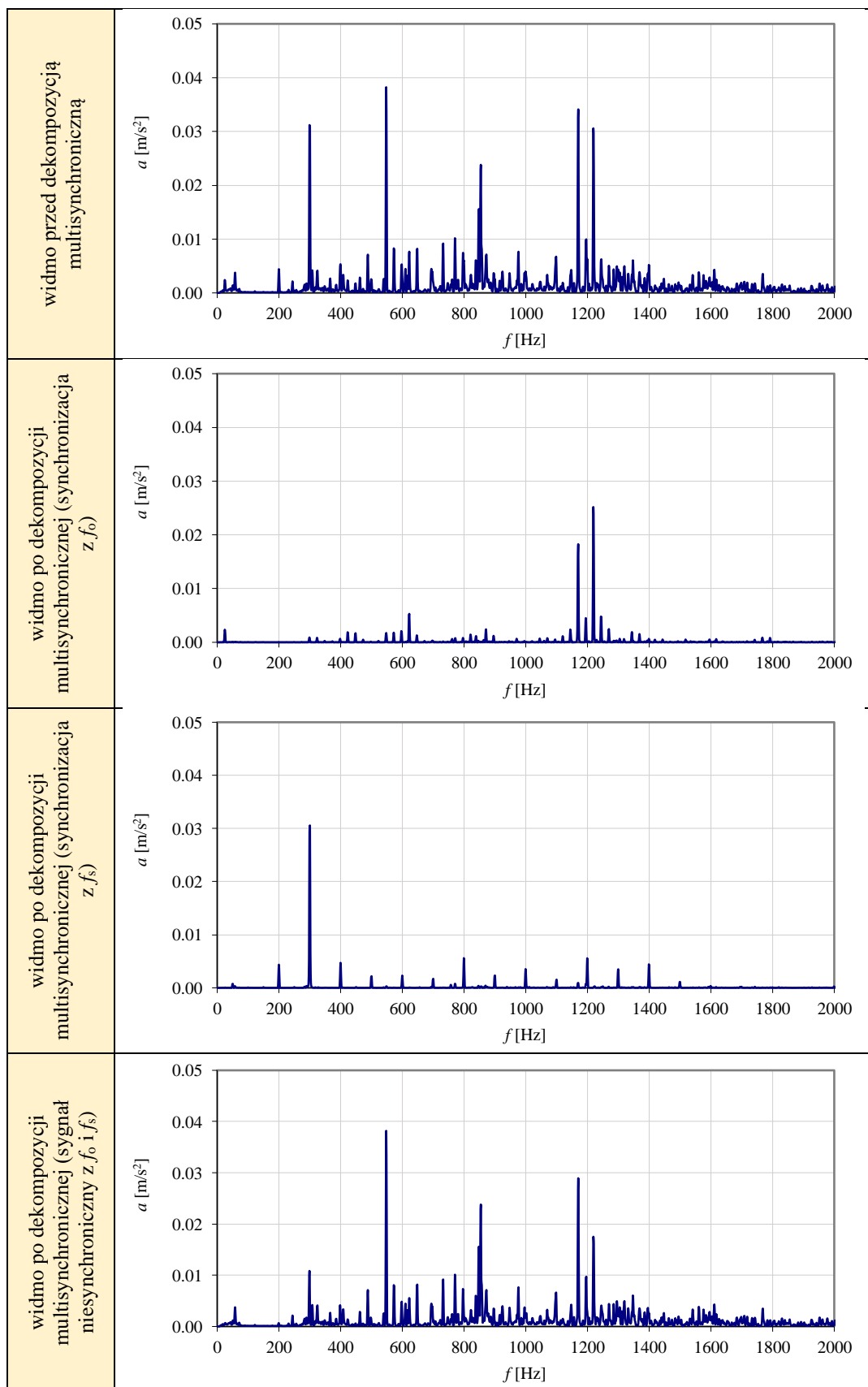
Rys. 15. Widma przyspieszeń drgań silnika BESEL 2SIEK 63-4A2 rejestrowanych z prawej strony głowicy pomiarowej w kierunku osiowym do korpusu silnika przed i po procesie dekompozycji multisynchronicznej (silnik bez wad).



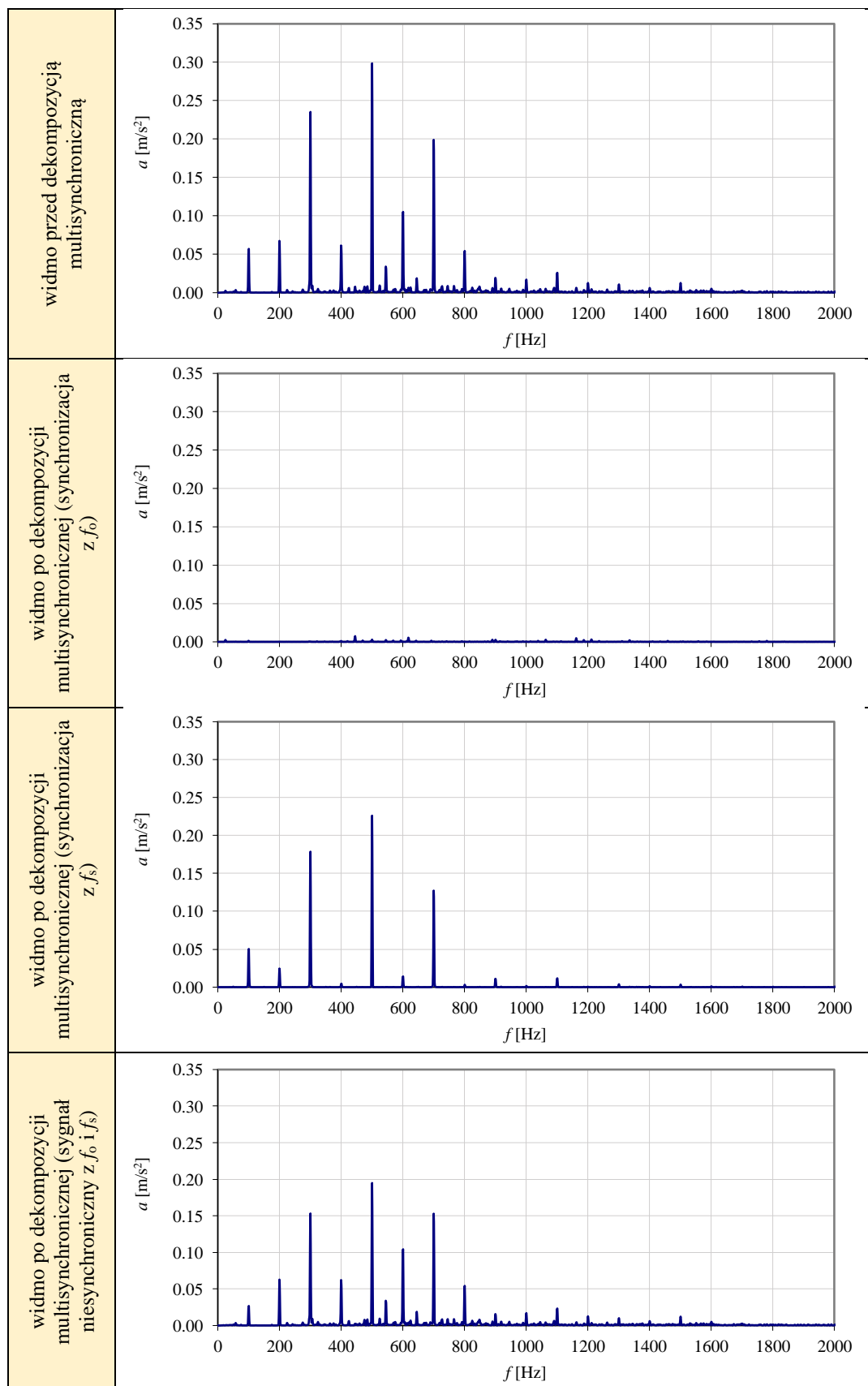
Rys. 16. Widma przyspieszeń drgań silnika BESEL 2SIEK 63-4A2 rejestrowanych z prawej strony głowicy pomiarowej w kierunku osiowym do korpusu silnika przed i po procesie dekompozycji multisynchronicznej (powiększona niecentryczność wirnika względem stojana o ok. 0,3 mm).



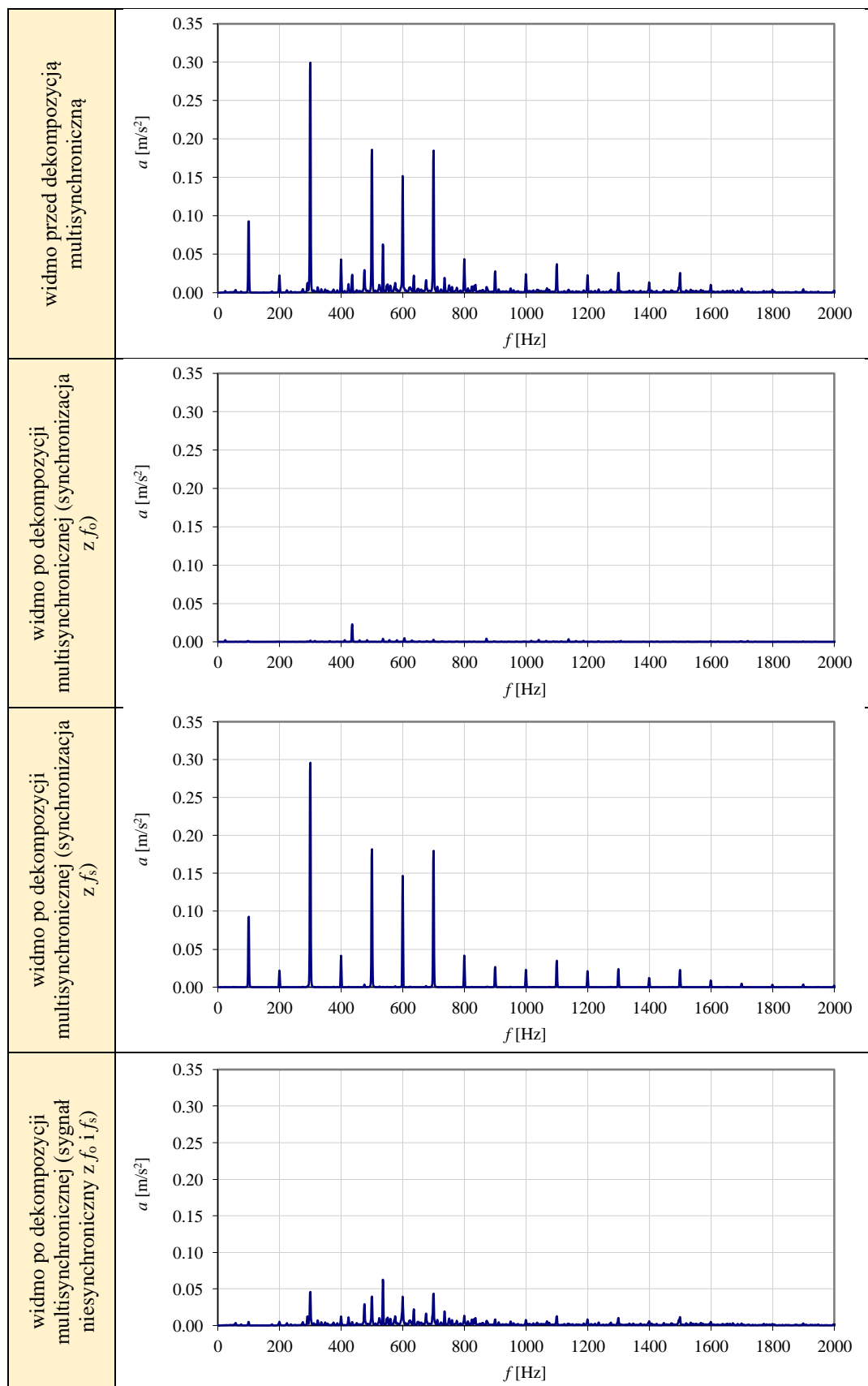
Rys. 17. Widma przyspieszeń drgań silnika BESEL 2SIEK 63-4A2 rejestrowanych z prawej strony głowicy pomiarowej w kierunku osiowym do korpusu silnika przed i po procesie dekompozycji multisynchronicznej (niewyważenie wirnika 60 g·mm)



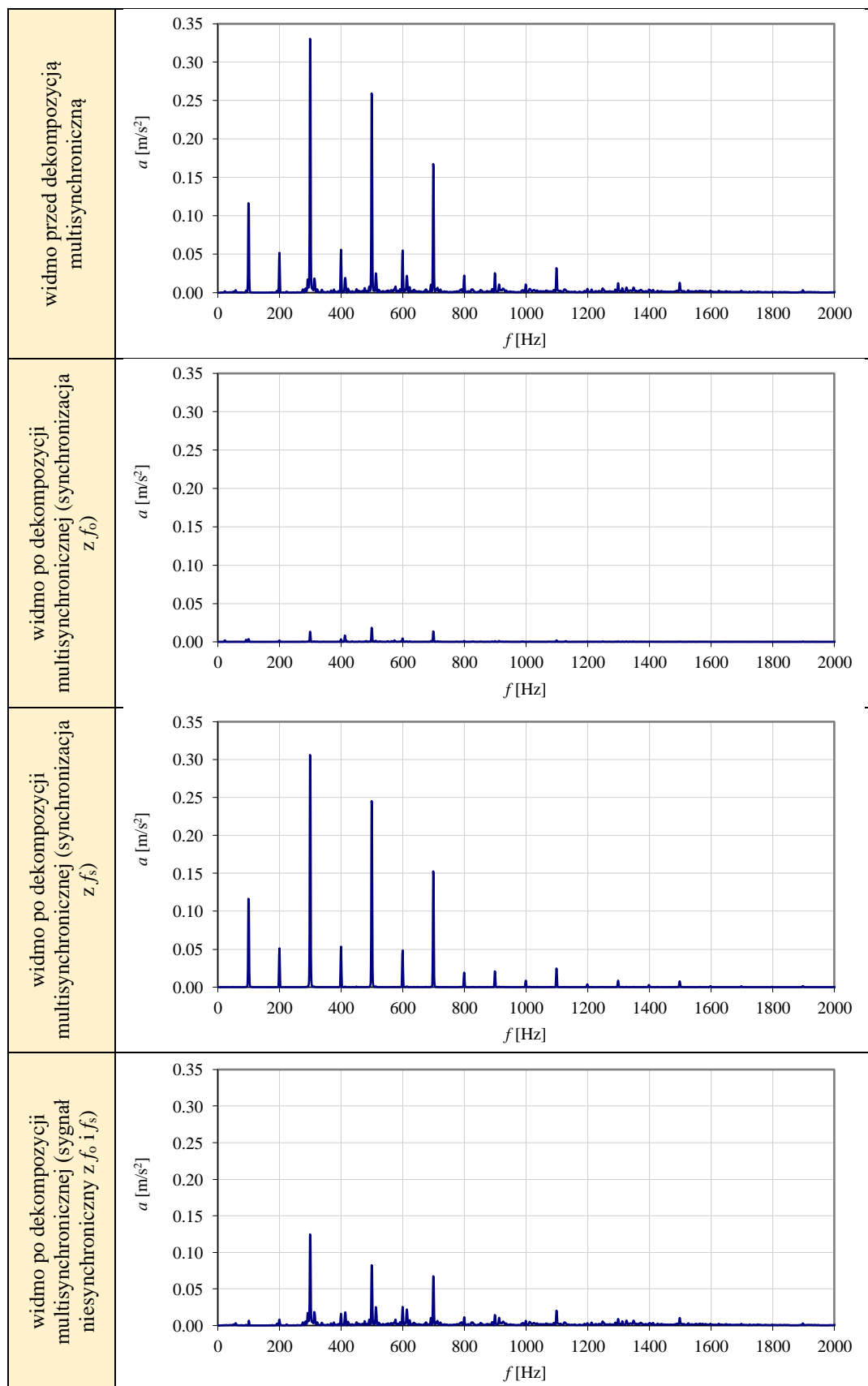
Rys. 18. Widma przyspieszeń drgań silnika BESEL 2SIEK 63-4A2 rejestrowanych z prawej strony głowicy pomiarowej w kierunku osiowym do korpusu silnika przed i po procesie dekompozycji multisynchronicznej (powiększona rezystancja fazy L1 o 1Ω)



Rys. 19. Widma przyspieszeń drgań silnika BESEL 2SIEK 63-4A2 rejestrowanych z prawej strony głowicy pomiarowej w kierunku osiowym do korpusu silnika przed i po procesie dekompozycji multisynchronicznej (powiększona rezystancja fazy L1 o 30Ω)



Rys. 20. Widma przyspieszeń drgań silnika BESEL 2SIEK 63-4A2 rejestrowanych z prawej strony głowicy pomiarowej w kierunku osiowym do korpusu silnika przed i po procesie dekompozycji multisynchronicznej (całkowite odłączenie fazy L1).



Rys. 21. Widma przyspieszeń drgań silnika BESEL 2SIEK 63-4A2 rejestrowanych z prawej strony głowicy pomiarowej w kierunku osiowym do korpusu silnika przed i po procesie dekompozycji multisynchronicznej (zasilanie silnika z sieci jednofazowej z kondensatorem pracy).